

## بررسی تاثیر شتاب و فرکанс تحریک بر رفتار لرزاها توربین بادی فراساحلی متکی بر مونوپایل با استفاده از میز لرזה (1g)

علیرضا باطنی<sup>۱</sup>، مجید مرادی<sup>۲\*</sup>

۱- کارشناس ارشد ژئوتکنیک، دانشکده مهندسی عمران، دانشگاه فنی، دانشگاه تهران

۲- دانشیار، دانشکده مهندسی عمران، دانشگاه فنی، دانشگاه تهران

\*mmoradi@ut.ac.ir

دریافت: ۱۴۰۲/۱۱/۱۰ پذیرش: ۱۴۰۳/۰۴/۲۷

### چکیده

در سال‌های اخیر افزایش آلاینده‌های ناشی از سوخت‌های فسیلی سبب شده است که استفاده از انرژی‌های پاک و تجدیدپذیر از جمله باد مورد توجه قرار گیرد. بکارگیری توربین‌های بادی فراساحلی از مهمترین روش‌های استفاده از انرژی باد است. این توربین‌ها بیشتر روی مونوپایل قرار می‌گیرند. در سال‌های اخیر گسترش استفاده از توربین‌های فراساحلی متکی بر مونوپایل در مناطق لرزا خیز سبب شده است که رفتار لرزاها آن‌ها مورد توجه قرار گیرد. طراحی لرزاها این توربین‌ها مشابه دیگر سازه‌ها باید بر اساس تاریخچه لرزاها منطقه و متناسب با شرایط اشیاع صورت گیرد. تاکنون به دلیل پژوهش‌های اندک انجام شده روی رفتار لرزاها این توربین‌ها، تاثیر شتاب و فرکанс تحریک در طراحی آن‌ها مورد بررسی قرار نگرفته و همچنین در برخی موارد طراحی این توربین‌ها مشابه خشک صورت می‌گیرد. در این پژوهش با انجام ۹ آزمایش روی نمونه‌های ساخته شده در دستگاه میز لرזה (1g) و اعمال شتاب و فرکansk تحریک متفاوت در هر یک از شرایط خشک و اشیاع، به بررسی اثر شتاب و فرکansk تحریک بر رفتار لرزاها توربین‌های بادی فراساحلی پرداخته شده و رفتار آن‌ها در حالت خشک و اشیاع نیز با یکدیگر مقایسه شده است. مطابق با نتایج حاصل از این پژوهش رفتار توربین‌ها در صورت وقوع پدیده تشددید در بحرانی‌ترین حالت قرار داشته و همواره رفتار لرزاها این توربین‌ها در حالت اشیاع، بحرانی‌تر از حالت خشک است و هرچه فرکansk تحریک کمتر باشد، رفتار توربین در شرایط اشیاع و خشک متفاوت‌تر می‌شود. همچنین با افزایش شتاب تحریک و کاهش فرکansk تحریک، مقدار بیشترین شتاب روسازه و جایه‌جایی حداقل و ماندگار توربین افزایش می‌یابد که نشان دهنده رفتار بحرانی‌تر این سازه‌ها است.

**کلیدواژه‌ها:** توربین بادی فراساحلی، رفتار لرزاها، میز لرזה (1g)، شتاب و فرکansk تحریک، شرایط اشیاع و خشک.

هستند. این توربین‌ها معمولاً در محیط خشکی، ساحل و دریا نصب شده و با توجه به موقعیت قرارگیری و ابعاد، دارای ظرفیت تولید انرژی مختلفی هستند. معمولاً در محیط سواحل و دریاها به دلیل عدم محدودیت در حمل و نقل و نصب قطعات

### ۱- مقدمه

در سال‌های اخیر با افزایش آلودگی‌های زیستمحیطی و گرمایش جهانی<sup>۱</sup>، استفاده از انرژی‌های تجدیدپذیر<sup>۲</sup> گسترش یافته است. باد از مهمترین انرژی‌های تجدیدپذیر است. توربین‌های بادی از جمله مهم‌ترین موارد استفاده از انرژی باد

**Fig. 1.** Example of monopile used in Gode offshore wind farm in Germany

طراحی لرزه‌ای توربین‌ها نیز مانند دیگر سازه‌ها باید با توجه به شتاب مبنای زلزله‌های گذشته منطقه نصب توربین صورت گیرد. به دلیل وجود محدودیت‌های ثبت زلزله در بستر دریاها معمولاً برای بررسی رفتار لرزه‌ای توربین‌های بادی فراساحلی از زلزله‌های ثبت شده در خشکی استفاده می‌شود [11, 10]. در صورتی که وجود آب دریا سبب تضعیف امواج زلزله وارد بر سازه‌های دریایی از جمله امواج و حرکات قائم زلزله می‌شود [12]. هرچند بررسی رفتار لرزه‌ای این توربین‌ها به دلیل محدودیت‌های موجود، بر اساس زلزله‌های ثبت شده از بستر دریا بررسی نمی‌شود ولی باید تاثیر پارامترهای موثر بارگذاری بر آن‌ها مورد بررسی قرار گیرد. مهم‌ترین پارامترهای یک بارگذاری لرزه‌ای را می‌توان شتاب و فرکانس غالب آن بارگذاری دانست. بررسی اثر شتاب حداقل و جابه‌جایی توربین می‌شود از جمله موارد تاثیرگذار در طراحی لرزه‌ای آن است.

در رابطه با رفتار لرزه‌ای توربین‌های بادی خشکی و توربین‌های بادی فراساحلی متکی بر مونوپایل تاکنون پژوهش‌های مختلفی انجام شده است [14, 13]. از مهم‌ترین موارد تاثیرگذار بر رفتار لرزه‌ای این توربین‌ها در نظر گرفتن اثر اندرکش خاک و سازه<sup>۸</sup> است که در پژوهش‌های زیادی مورد بررسی قرار گرفته است [15-17]. ونگ<sup>۹</sup> و همکاران رفتار لرزه‌ای این توربین‌ها را به صورت تجربی و با استفاده از دستگاه سانتریفیوژ ژئوتکنیکی مورد بررسی قرار دادند [18]. یو<sup>۱۰</sup> و همکاران نیز در بررسی عملکرد لرزه‌ای این توربین‌ها از دستگاه سانتریفیوژ ژئوتکنیکی استفاده کرده و نتیجه گرفته که تریپاد نسبت به مونوپایل نقش موثرتری در کاهش میزان دوران توربین دارد [19]. همچنین به تازگی مونوپایل ترکیبی<sup>۱۱</sup> با فونداسیون سطحی نیز مورد بررسی قرار گرفته است [20].

بزرگ‌تر و تولید بیشتر باد، امکان نصب توربین‌های بارهای چرخه‌ای باد، موج و جریان‌های دریایی<sup>۲</sup> قرار دارند [2]. این توربین‌ها روی پی‌های متنوعی قرار می‌گیرند. برای توربین‌های بادی در محیط دریا معمولاً از انواع پی‌های وزنی<sup>۳</sup>، جکت<sup>۴</sup>، تریپاد<sup>۵</sup>، مونوپایل<sup>۶</sup> و پی‌های شناور<sup>۷</sup> استفاده می‌شود [3, 4]. مونوپایل‌ها تک شمع‌های لوله‌ای شکل با قطر ۲ تا ۸ متر هستند. شکل ۱ نمونه‌ای از مونوپایل‌های استفاده شده در یک مزرعه توربین بادی فراساحلی در آلمان را نشان می‌دهد [5]. مونوپایل به عنوان پراستفاده‌ترین پی در میان توربین‌های نصب شده در دریا تا سال ۲۰۱۹ بوده است که حدود ۸۱ درصد از مجموع پی‌های نصب شده را به خود اختصاص داده است [6]. افزایش استفاده از توربین‌های بادی فراساحلی در چند سال اخیر به دلیل مزایای آن‌ها باعث شده است که این توربین‌ها در مناطق لرزه‌خیز مثل چین، ژاپن و آمریکا نیز نصب شوند [7]. نصب این توربین‌ها در مناطق لرزه‌خیز و همچنین افزایش ابعاد و ظرفیت آن‌ها سبب شده است تا رفتار لرزه‌ای آن‌ها مورد توجه قرار گیرد. بررسی رفتار این توربین‌ها به منظور طراحی لرزه‌ای بهینه صورت می‌گیرد. آینین‌نامه‌های موجود به طور واضح بیان کرده‌اند که در صورت نصب توربین‌ها در مناطق لرزه‌خیز باید طراحی این توربین‌ها به گونه‌ای انجام شود که مقاومت کافی در برابر زلزله‌های منطقه را داشته باشند [8, 9].

شکل ۱. نمونه مونوپایل استفاده شده در مزرعه بادی فراساحلی گودی آلمان [5]



- 7. Floating Foundation
- 8. Soil–Structure Interaction (SSI)
- 9. Wang
- 10. Yu
- 11. Hybrid Monopile

- 1. Offshore Wind Turbines (OWT)
- 2. Ocean Currents
- 3. Gravity Based
- 4. Jacket
- 5. Tripod
- 6. Monopile

Monopile under monotonic lateral loads (Carbonate soil) [31]	Rezanejad	8
--	-----------	---

**Table 1.** The research done by Moradi et. al.

در این پژوهش اثر شتاب و فرکанс تحریک، بر رفتار لرزه‌ای توربین بادی فراساحلی مورد بررسی قرار می‌گیرد، همچنین به دلیل آن که در برخی موارد، طراحی لرزه‌ای این توربین‌ها به مبانی طراحی توربین‌های خشکی ارجاع داده است، پس رفتار توربین متکی بر مونوپایل در محیط خشک نیز مورد بررسی قرار گرفته و با نتایج مربوط به محیط اشباع مقایسه می‌شود.

## ۲- مدل‌سازی فیزیکی

موضوعات مختلف ژئوتکنیکی که پیچیدگی‌های زیادی دارند را می‌توان با مدل‌سازی فیزیکی مورد بررسی قرار داد. مدل‌سازی در ابعاد واقعی به دلیل هزینه‌های زیاد و دشواری‌های موجود معمولاً مورد استقبال قرار نمی‌گیرد و رغبت پژوهشگران بیشتر بر استفاده از مدل‌سازی‌های کوچک مقیاس می‌باشد. در محیط آزمایشگاه مدل‌سازی‌های کوچک مقیاس با استفاده از سانتریفیوژ (Ng) و میز لرزه (1g) انجام می‌شود. در این پژوهش از میز لرزه (1g) استفاده شده است. طراحی مدل‌های کوچک مقیاس با استفاده از آنالیز روابط بدون بعد صورت می‌گیرد [33].

میز لرزه مورد استفاده در این پژوهش، میز لرزه آزمایشگاه دینامیک خاک دانشگاه تهران با یک درجه آزادی در جهت طولی است که در شکل ۲ نشان داده شده است. این میز لرزه قادر به اعمال بار لرزه‌ای به مدل‌هایی با بیشترین وزن ۵۰ton، شتاب افقی حدکثر ۱g و محدوده فرکانسی ۰/۰۱ تا ۵۰ هرتز است. محفظه خاکی مورد استفاده در این تحقیق از ورق‌های پلکسی‌گلس با ضخامت ۲۰mm ساخته شده که روی یک فریم فولادی قرار گرفته‌اند. ابعاد داخلی این محفظه دارای طول ۱۸۰۰mm، عرض ۴۵۰mm و ارتفاع ۷۰۰mm است. در شکل ۳ محفظه خاکی آزمایش در مدل‌سازی انجام شده برای این پژوهش نشان داده شده است. برای جلوگیری از بازگشت امواج از جداره محفظه خاکی از دولایه فوم جاذب موج به ضخامت ۵cm در دو جداره عمود بر راستای بارگذاری استفاده شده است. این فوم‌ها در محفظه‌های خاکی صلب با وجود اینکه سبب

در برخی پژوهش‌های گذشته به دلیل سازه خاص این توربین‌ها که سازه‌هایی لاغر هستند، تاثیر مواردی روی عملکرد لرزه‌ای آن‌ها مورد بررسی قرار گرفته است که در سازه‌های دیگر اهمیت چندانی نداشته یا به دلیل محدودیت‌های موجود امکان بررسی آن‌ها وجود نداشته است. بررسی مواردی چون اثر فاصله محل نصب توربین از محل وقوع زلزله [21]، اثر اعمال همزمان با رطوفان و زلزله بر توربین [22]، اثر جهت وارد شدن بار افقی زلزله بر توربین [23] و اثر زلزله بر توربین در شرایط مختلف حرکت پره‌ها [24] از جمله این موارد است.

در ایران نیز به دلیل وجود محیط دریا در شمال و جنوب کشور امکان بهره‌گیری از توربین‌های بادی فراساحلی وجود دارد. تاکنون به دلیل وجود منابع سرشار نفت و گاز در کشور استفاده از توربین‌های فراساحلی در دستورکار قرار نگرفته است، هرچند با وجود آلدگی‌های زیستمحیطی ناشی از سوخت‌های فسیلی، در آینده نه چندان دور احتمال بکارگرفتن این توربین‌ها در محیط دریا وجود دارد. پژوهش‌هایی نیز در داخل کشور بر روی این توربین‌ها صورت گرفته است که از جمله آن‌ها می‌توان به پژوهش‌های یک دهه اخیر مرادی و همکاران روی این توربین‌ها مطابق با جدول ۱ اشاره کرد.

جدول ۱. پژوهش‌های انجام شده توسط مرادی و همکاران

Title	Researcher	No.
Monopile under monotonic lateral loads [25]	Shirzadeh	1
Monopile under monotonic lateral loads [26]	Khodai	2
Monopile under cyclic lateral loads [26]	Jomehri	3
Monopile under cyclic lateral loads [27]	Shahidikhah	4
Monopile under cyclic lateral loads[28]	Darvishi	5
Monopile under cyclic lateral loads [29]	Khamseh	6
Monopile under monotonic lateral loads (Carbonate soil) [30]	Memari	7

منحنی آزمایش دانه‌بندی مطابق با استاندارد ASTM D422-63 انجام شده است. تراکم نسبی ماسه در این آزمایش ۶۰ درصد درنظر گرفته شده است. عموماً تراکم نسبی به عنوان معیاری برای شل یا سفت بودن خاک‌ها در نظر گرفته می‌شود و خاک با تراکم نسبی ۶۰ درصد جزو خاک‌های با تراکم متوسط به حساب می‌آید.

جدول ۲. مشخصات ماسه ۱۶۱ فیروزکوه

Value	Sign	Parameter	No.
0.874	$e_{\max}$	Maximum void ratio	1
0.574	$e_{\min}$	Minimum void ratio	2
2.65	$G_s$	Specific gravity	3
0.27	$D_{50}$	Mean particle size (mm)	4
1.569	$r_d$	Dry density ( $\text{gr}/\text{cm}^3$ )	5
33	$f$	Friction angle (deg)	6
0	$c$	Cohesion (kPa)	7

Table 2. Properties of Firoozkoh sand No. 161

شکل ۴. منحنی دانه‌بندی ماسه ۱۶۱ فیروزکوه

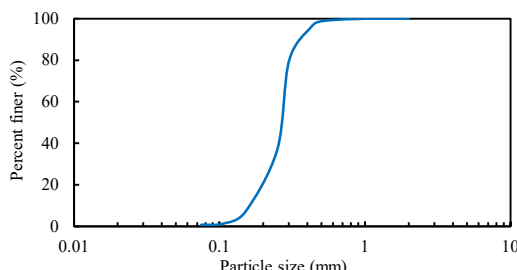


Fig. 4. Particle distribution of Firoozkoh sand No. 161

ابعاد مونوپایل و توربین مدل با توجه به قوانین مقیاس ارائه شده توسط Iai برای میز لرزه (1g) به دست آمده و این قوانین در جدول ۳ قابل مشاهده است [35].

جدول ۳. قوانین مقیاس ارائه شده توسط Iai

Scale Factor	Sign	Parameter	No.
$\lambda$	x	Length	1
$\lambda^3$	m	Mass	2
$\lambda^{0.5}$	t	Time	3
$\lambda^{-0.5}$	v	Frequency	4
1	$\frac{u}{\lambda}$	Acceleration	5
$\lambda$	u	Displacement	6

Table 3. Scaling laws reported by Iai

جلوگیری از بازگشت امواج می‌شوند ولی تغییری در شتاب و فرکانس تحریک و اثر آن بر نمونه ایجاد نمی‌کنند [34]. همچنین در دو جداره هم راستا با جهت اعمال بار از دو لایه طلق استفاده شده است تا با کاهش نیروی برشی در این جداره‌ها، آثار مرزی کاهش یابد. در مدل‌های ساخته شده در این پژوهش، فاصله ۸۷۰ mm بوده است که تقریباً ۲۲ برابر قطر مونوپایل است و این موضوع تاثیر شرایط مرزی را به کمترین می‌رساند.

شکل ۲. میز لرزه دانشگاه تهران



Fig. 2. Shaking table of Tehran university

شکل ۳. محفظه خاکی آزمایش در مدلسازی انجام شده

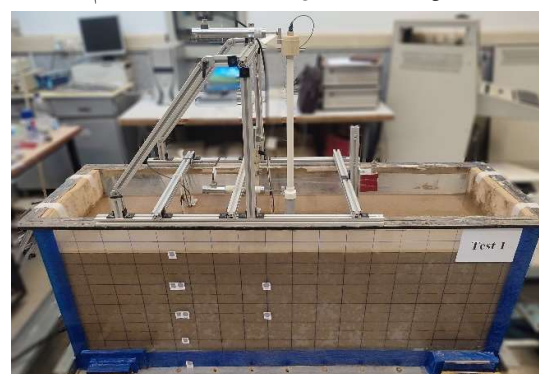


Fig. 3. Soil box of modeling

## ۱-۲- مشخصات مصالح

در این پژوهش از ماسه فیروزکوه ۱۶۱ استفاده شده است. با توجه به آزمایش‌های انجام گرفته در آزمایشگاه، این ماسه در طبقه‌بندی متحده جزو ماسه‌های بد دانه‌بندی شده (SP) بوده و مشخصات آن در جدول ۲ آمده است. نمودار مربوط به منحنی دانه‌بندی آن نیز در شکل ۴ آمده است. برای دست‌یابی به این

مدل به گونه‌ای انجام شود که فرکانس طبیعی مدل و پروتوتاپ مطابق با قوانین مقیاس باشد.

جدول ۵. مشخصات روسازه در پروتوتاپ و مدل

Parameter	Prototype	Model
Material	Steel	Propylene
Modulus of elasticity (GPa)	210	1.5
Length (m)	60	0.6
Diameter (m)	3	0.025
Thickness (mm)	30	4.6
Lumped mass (kg)	200000	0.2
Natural frequency (Hz)	0.37	5.5

Table 5. Properties of superstructure in prototype and model

## ۲-۲- مراحل ساخت نمونه

در این پژوهش، آزمایش‌ها در خاک همگن انجام می‌شود. تراکم نسبی خاک در مدل‌های ساخته شده ۶۰٪ در نظر گرفته شده است. با توجه به مشخصات خاک در جدول ۲ وزن هر لایه به ضخامت ۵cm از خاک، محاسبه شده و با روش بارش خشک<sup>۳</sup> و سپس تراکم با کوبه استاندارد، به تراکم ۶۰٪ رسیده است. در این پژوهش عمق لایه خاک ۵۵cm بوده که در ۱۱ لایه به ضخامت ۵cm اجرا شده است. از معایب اصلی تراکم با کوبه، این است که در این روش لایه‌های زیرین به علت کوییدن لایه‌های فوقانی متراکم‌تر می‌شوند ولی سعی شد تا با کاهش تعداد ضربات اعمالی به لایه‌های زیرین، تراکم لایه‌های خاک در عمق، اختلاف قابل توجهی نداشته باشند. همچنین در اجرای هر لایه ابتدا سطح صاف لایه زیرین دندانه‌دار شد تا یکپارچگی بین دولایه حفظ شود. در لایه‌های خاک مطابق با ابزارگذاری در نظر گرفته شده برای آزمایش‌ها که در شکل ۵ نشان داده شده است، حسگرهای شتاب<sup>۴</sup> و فشار آب حفره‌ای<sup>۵</sup> قرار داده شده است. پس از تکمیل لایه‌های خاک، شمع به کمک تراز دیجیتال و به صورت قائم در مرکز محفظه خاکی تا عمق مدفون موردنظر (۳۰cm) کویید شده و روسازه روی آن نصب شد. پس از آن، برای ثبت میزان شتاب و جابه‌جایی بالای روسازه یک شتاب‌سنج و یک جابه‌جایی‌سنج<sup>۶</sup> در محل بالای روسازه قرار گرفت.

پروتوتاپ<sup>۱</sup> انتخاب شده در این پژوهش مشابه توربین‌های مزرعه هورنر ریو<sup>۲</sup> به ظرفیت ۲ مگاوات است [36]. به دلیل ابعاد بزرگ توربین‌های فراساحلی و پروتوتاپ و محدودیت‌های ابعاد محفظه خاکی، ضریب مقیاس در این پژوهش برابر با ۱۰۰ در نظر گرفته شده است. مونوپایل مورد استفاده در این پژوهش از جنس پلی وینیل کلراید (PVC) بوده و مشخصات آن‌ها در جدول ۴ آمده است.

جدول ۴. مشخصات مونوپایل در پروتوتاپ و مدل

Model	Prototype	Parameter	No.
PVC	Steel	Material	1
1.5	210	Modulus of elasticity (GPa)	2
0.3	30	Driven length (m)	3
0.04	4	Diameter (m)	4
1.8	40	Thickness (mm)	5

Table 4. Properties of monopile in prototype and model

روسازه مدل از دو قسمت ستون و جرم مرکز فوکانی تشکیل شده است. جنس ستون از پلی‌پروپیلن بوده و مشخصات آن در جدول ۵ آمده است. در پروتوتاپ میزان وزن پره‌ها و روتور توربین ۲۰۰ تن می‌باشد و چون وزن در قوانین مقیاس با توان سوم ضریب مقیاس تبدیل می‌شود پس در مدل از یک وزنه ۲۰۰ گرمی در بالای ستون توربین به عنوان وزن پره‌ها و روتور توربین استفاده شده است. به دلیل اینکه در واقعیت انتهای مونوپایل از لایه سخت برخورد نمی‌کند، بنابراین در مدل سازی صورت گرفته نیز شمع به صورت اتکایی نبوده و اثر عملکرد اصطکاکی آن غالب است. از جمله مشخصات دارای اهمیت در پژوهش‌های لرزه‌ای، فرکانس طبیعی روسازه است. هرچند مقیاس کردن تمامی موارد به طور دقیق محدود نیست ولی در این پژوهش سعی شده است تا انتخاب مصالح و تبدیل ابعاد

4. Accelerometer (ACC)

5. Pore Water Pressure Transducer (PWP)

6. Linear Variable Differential Transformer (LVDT)

1. Prototype

2. Horns Rev1

3. Dry Deposition Method

**Table 5.** Tests program in saturated and dry conditions

۳- بحث و بررسی نتایج

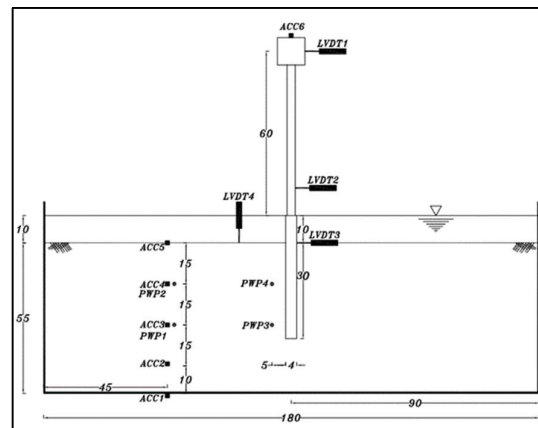
در رابطه با طراحی لرزمای توربین های بادی متکی بر مونوپایل و بررسی رفتار لرزمای آنها، میزان کج شدگی ماندگار بیشترین شتاب وارد بر روسازه توربین از اهمیت ویژه ای برخوردار است. در ادامه به بررسی نتایج حاصل از آزمایش های انجام شده پرداخته می شود و تاثیر شتاب و فرکанс تحریک و همچنین شرایط اشباع و خشک بر موارد مذکور بررسی می شود.

### ۱-۳- شتاب لایه‌های خاک و روسازه

با توجه به بارگذاری‌های انجام شده در آزمایش‌ها با شتاب و فرکانس تحریک متفاوت، در شکل ۷ میزان بزرگنمایی شتاب در لایه‌های خاک و قسمت بالای روسازه نشان داده شده است. در شکل ۷ (الف) که مربوط به شرایط اشباع می‌باشد مشاهده می‌شود که میزان شتاب در لایه‌های خاک از پایین به سمت بالا افزایش یافته است. به طور کلی هرچه فرکانس بار اعمالی بر نمونه کمتر بوده، میزان بزرگنمایی شتاب در لایه‌های سطحی خاک بیشتر است. همچنین عمق لایه‌ای که در آن بزرگنمایی شتاب قابل توجه است، با کاهش فرکانس بارگذاری افزایش یافته است. تاثیر میزان شتاب تحریک بر میزان بزرگنمایی شتاب در لایه‌های خاک به طور واضح مشخص نیست و به نظر می‌رسد شتاب بار ورودی تاثیری بر میزان بزرگنمایی شتاب در لایه‌های خاک در حالت اشباع ندارد. در رابطه با میزان بزرگنمایی شتاب روسازه در شرایط اشباع نیز تاثیر فرکانس بار ورودی به وضوح مشخص بوده و کاهش فرکانس بار ورودی سبب افزایش بزرگنمایی شتاب روسازه شده است. بزرگنمایی شتاب روسازه در فرکانس‌های  $1,0\text{ Hz}$ ،  $5\text{ Hz}$  و  $3\text{ Hz}$  به طور میانگین و به ترتیب برابر با  $1/43$ ،  $3/69$  و  $5/24$  است. تاثیر شتاب تحریک بر بزرگنمایی شتاب روسازه نیز به این صورت بوده است که با افزایش شتاب بار ورودی میزان بزرگنمایی شتاب روسازه نیز

همچنین سه جابه‌جایی سنج دیگر نیز برای ثبت جابه‌جایی افقی  
برشمع، جابه‌جایی افقی شمع در سطح خاک و نشست سطح  
خاک در نزدیکی شمع نصب شد. پس از جانمایی تمام سنسورها  
در محل، همگی سنسورها به دیتالاگر متصل شده و بار  
هارمونیک سینوسی مربوط به هر آزمایش به نمونه‌ها اعمال شد.

## شکل ۵. ابزارگذاری آزمایش



**Fig. 5.** Test instrumentation

۲-۳- برنامه آزمایش‌ها

آزمایش‌های انجام شده در این پژوهش مطابق با جدول ۶ می‌باشد. این آزمایش‌ها به منظور بررسی اثر شتاب و فرکانس تحریک بر عملکرد لرزه‌ای توربین بادی متکی بر مونوپایل در محیط اشباع و خشک انجام شده‌اند. در واقع در این پژوهش ۹ بارگذاری هارمونیک سینوسی با فرکانس و بیشترین شتاب متفاوت یک بار در شرایط اشباع و یک بار در شرایط خشک به نمونه‌های مشابه ساخته شده اعمال شده‌اند. در شکل ۶ بارگذاری‌های هارمونیک سینوسی وارد بر نمونه‌های اشباع و خشک نشان داده شده است.

#### جدول ۶. بیان نامه آزمایش‌های انجام شده در شرایط اشیاء و خشک

Maximum Acceleration (g)	Frequency (Hz)	Test No.
0.2, 0.3, 0.4	10Hz	1, 2, 3
	5Hz	4, 5, 6
	3Hz	7, 8, 9

**شکل ۶.** بارگذاری‌های هارمونیک سینوسی اعمالی بر نمونه‌های اشیاء و خشک

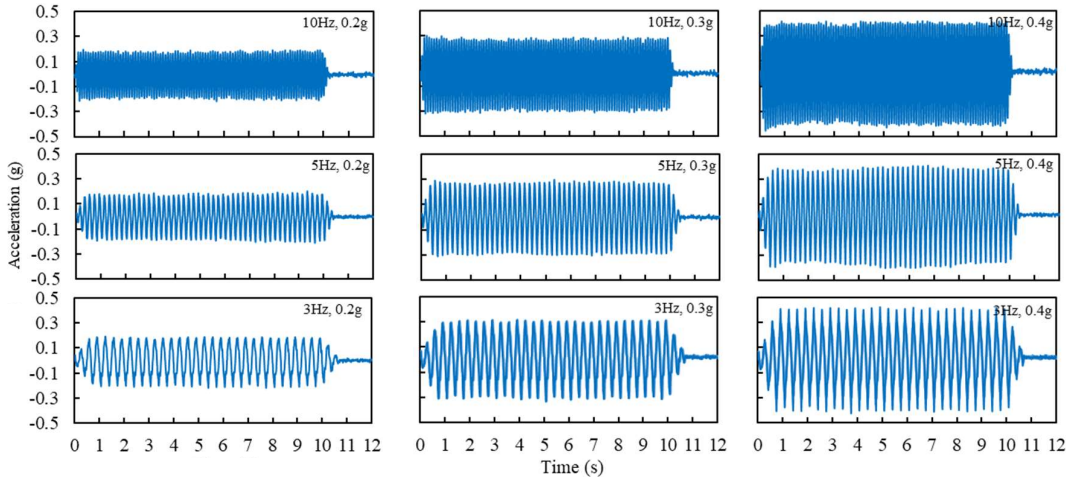


Fig. 6. Sinusoidal harmonic loadings applied to saturated and dry samples

شکل ۷. بزرگنمایی شتاب در لایه‌های خاک و روسازه (الف) شرایط اشباع  
ب) شرایط خشک

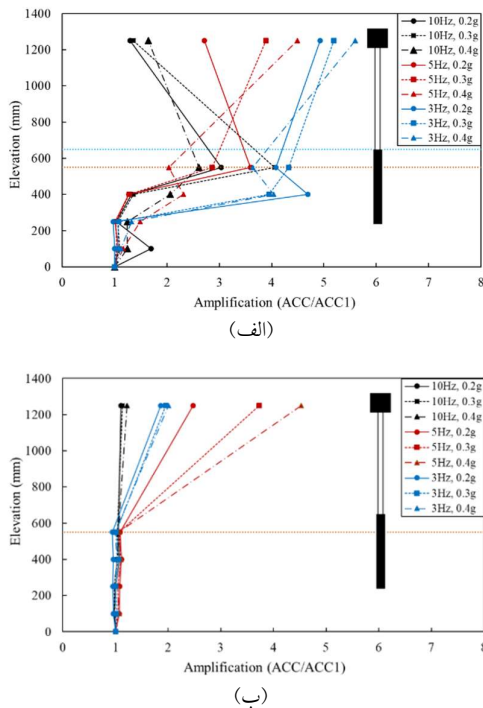


Fig. 7. Amplification of soil layers and superstructur a)  
saturated condition, b) dry condition

همانطور که در حالت اشباع نیز به آن اشاره شده این موضوع می‌تواند به علت نزدیک بودن فرکانس روسازه به فرکانس تحریک  $5\text{Hz}$  و قوع پدیده تشدید باشد. با توجه به اینکه مونوپایل قرار گرفته در خاک در شرایط خشک نسبت شرایط اشباع به اتصال گیردار در پایین برج نزدیک تر است، پس فرکانس طبیعی روسازه در حالت خشک به مقدار  $5\text{Hz}$  نزدیک تر

اختلاف بین میزان بزرگنمایی‌ها تحت شتاب‌های تحریک متفاوت در فرکانس  $5\text{Hz}$  از دو فرکانس دیگر بیشتر است. این موضوع می‌تواند به علت نزدیک بودن فرکانس طبیعی روسازه به مقدار  $5\text{Hz}$  باشد. زیرا بر اساس بررسی‌های صورت گرفته در این پژوهش، فرکانس طبیعی روسازه در مدل، در حالتی که در قسمت پایین برج به صورت کامل گیردار باشد نزدیک به  $5\text{Hz}$  است. عدم استدلال قاطع در این باره به این علت است که به دلیل قرارگیری مونوپایل در خاک و وابسته بودن سختی سازه به شرایط گیرداری در خاک، میزان فرکانس طبیعی روسازه با توجه به شرایط خاک متفاوت است. به عنوان نمونه پژوهش‌های انجام شده نشان می‌دهد که فرکانس طبیعی سازه‌های متکی بر مونوپایل در شرایط اشباع کمتر از شرایط خشک است، همچنین با افزایش شتاب بار اعمالی بر نمونه، میزان فرکانس طبیعی روسازه کاهش می‌یابد که این موضوع به دلیل کاهش مقاومت خاک و کاهش مقاومت برشی در خاک است [37, 38].

در شکل ۷ (ب) نتایج مربوط به نمونه‌های خشک آمده است. میزان بزرگنمایی شتاب در لایه‌های خاک در نمونه‌های خشک بسیار کم بوده و حتی در لایه‌های سطحی نیز بیش از  $20\%$  درصد افزایش وجود ندارد، در حالیکه در نمونه‌های اشباع این مقدار به حدود  $5$  برابر هم می‌رسد. در رابطه با بزرگنمایی شتاب روسازه در حالت خشک به صورت واضح مشاهده می‌شود که بزرگنمایی شتاب و میزان اختلاف آن برای شتاب‌های تحریک متفاوت برای فرکانس  $5\text{Hz}$  بیشتر از دو فرکانس  $10\text{Hz}$  و  $3\text{Hz}$  می‌باشد.

یکدیگر نزدیک می‌شوند. به طور میانگین در فرکانس  $3\text{Hz}$  بزرگنمایی شتاب روسازه در حالت اشباع  $\frac{3}{5}$  برابر حالت خشک است در حالی که این عدد برای فرکانس  $10\text{Hz}$  برابر با  $\frac{1}{25}$  می‌باشد.

بوده و پدیده تشدید با شدت بیشتری نسبت به شرایط اشباع رخ داده است.

برای بررسی دقیق‌تر میزان بزرگنمایی شتاب روسازه و مقایسه آن در دو حالت خشک و اشباع، در شکل ۸ نتایج مربوط به آن نشان داده شده است.

### ۳-۲- جابه‌جایی روسازه

از دیگر موارد دارای اهمیت در طراحی توربین‌های بادی فراساحلی می‌توان به بیشترین جابه‌جایی و ماندگاری جانبی توربین اشاره کرد. در شکل ۹ نمودارهای جابه‌جایی-زمان مربوط به بارگذاری‌های مختلف نشان داده است. در هر نمودار دو منحنی مربوط به حالت اشباع و خشک در کنار هم آمده‌اند. برای نمایش و مقایسه میزان جابه‌جایی حداقل و جابه‌جایی ماندگار به صورت واضح‌تر، نمودار این دو پارامتر برای شرایط خشک و اشباع در شکل ۱۰ نشان داده است. با توجه به شکل ۱۰ (الف) در دو فرکانس تحریک  $10\text{Hz}$  و  $3\text{Hz}$  همواره میزان بیشترین جابه‌جایی بالای توربین در حالت اشباع بیشتر بوده است ولی در فرکانس تحریک  $5\text{Hz}$  بیشترین جابه‌جایی مربوط به حالت خشک می‌باشد. به همان علت که در قسمت قبل به آن اشاره شد در فرکانس تحریک  $5\text{Hz}$  در حالت خشک پدیده تشدید رخ داده است.

شکل ۸ بزرگنمایی شتاب روسازه در شرایط خشک و اشباع

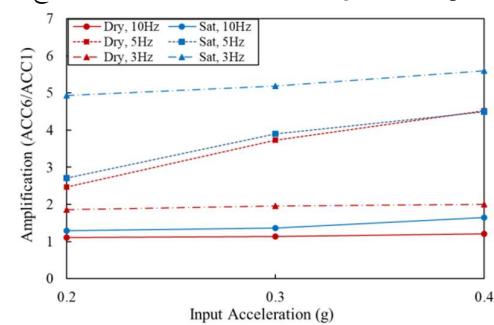


Fig. 8. Amplification of superstructure

با چشم‌پوشی از نتایج مربوط به فرکانس تحریک به دلیل وقوع پدیده تشدید در آن و بر اساس نتایج مربوط به دو فرکانس تحریک دیگر می‌توان گفت در فرکانس‌های پایین، میزان بزرگنمایی شتاب روسازه در حالت خشک بسیار کمتر از حالت اشباع می‌باشد و با افزایش فرکانس بار اعمالی، اختلاف میزان بزرگنمایی در شرایط خشک و اشباع کاهش می‌یابد و به

شکل ۹. نمودارهای جابه‌جایی-زمان روسازه تحت بارگذاری‌های مختلف

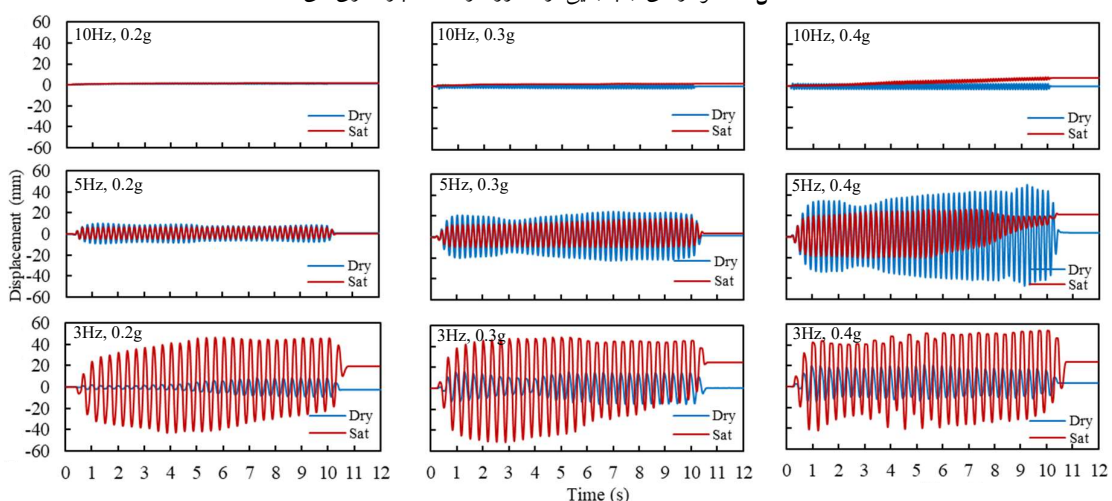


Fig. 9. Displacement-time diagrams of superstructure under different loadings

حفره‌ای از حسگر PWP4 که بیشتر تحت تأثیر حضور مونوپایل می‌باشد محاسبه شده و در شکل ۱۱ نشان داده شده است. مطابق با این شکل در هیچ یک از آزمایش‌های حالت اشباع روانگرایی رخ نداده است و مقدار ضریب اضافه فشار آب حفره‌ای ( $R_u$ ) که از نسبت اضافه فشار آب حفره‌ای به تنش موثر محاسبه می‌شود به مقدار بحرانی ۱ که نشان‌دهنده روانگرایی می‌باشد، نرسیده است. همچنین در این نمودار دیده می‌شود که در شرایط اشباع، میزان اضافه فشار آب حفره‌ای نیز با افزایش شتاب و کاهش فرکانس بار اعمالی به نمونه، افزایش می‌یابد و در فرکانس‌های پایین تأثیر تغییرات شتاب، ناچیز است.

شکل ۱۱. میزان اضافه فشار آب حفره‌ای بر حسب شتاب تحریک از PWP4

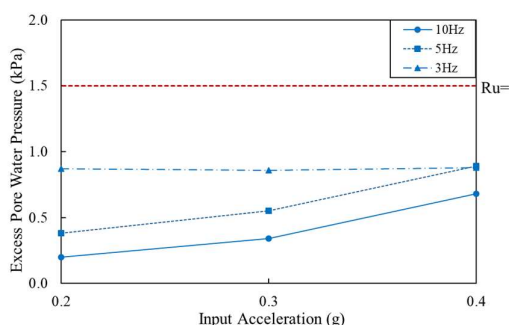


Fig. 11. Excess pore water pressure-input Acceleration diagrams of PWP4

#### ۴- جمع‌بندی و نتیجه‌گیری

در این پژوهش به بررسی اثر شتاب و فرکانس تحریک بر عملکرد لرزه‌ای توربین بادی فراساحلی پرداخته شد و پس از بررسی نتایج، موارد زیر به عنوان مهم‌ترین نتایج این پژوهش ارائه می‌شود.

۱- مقدار بزرگنمایی شتاب روسازه در حالت اشباع نسبت به حالت خشک بیشتر است. همچنین با کاهش فرکانس تحریک،

مقدار بزرگنمایی شتاب روسازه افزایش می‌یابد.

۲- مقادیر بیشترین جابه‌جایی و جابه‌جایی ماندگار روسازه در حالت اشباع همواره بیشتر از حالت خشک است. بیشترین جابه‌جایی در حالت خشک و اشباع و همچنین جابه‌جایی

همچنین به طور کلی می‌توان گفت که افزایش شتاب و کاهش فرکانس بار اعمالی به نمونه سبب افزایش بیشترین جابه‌جایی قسمت بالای توربین بادی می‌شود.

بر اساس شکل ۱۰ (ب) می‌توان گفت که همواره جابه‌جایی ماندگار در حالت اشباع بیشتر از حالت خشک است. همچنین در حالت اشباع افزایش شتاب و کاهش فرکانس تحریک سبب افزایش جابه‌جایی ماندگار می‌شود. این افزایش در مقادیر بالای شتاب و مقادیر پایین فرکانس تحریک مشهودتر است. در حالت خشک، شتاب و فرکانس تحریک تأثیر قابل توجهی بر جابه‌جایی ماندگار ندارد.

شکل ۱۰. جابه‌جایی روسازه بر حسب شتاب تحریک (الف) جابه‌جایی حداکثر و (ب) جابه‌جایی ماندگار

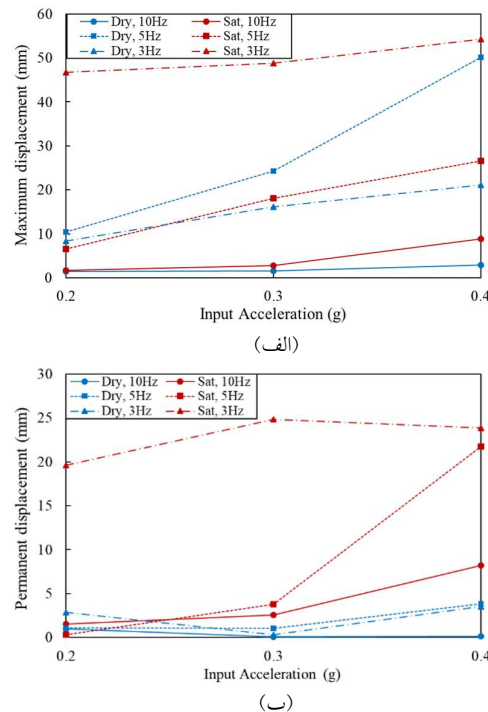


Fig. 10. Displacement-Input Acceleration diagrams of superstructure a) Maximum, b) permanent

هر چند در این مقاله بررسی مقادیر اضافه فشار آب حفره‌ای و روانگرایی مطرح نیست ولی به دلیل اینکه مشخص شود روانگرایی بر نتایج حاصل شده تأثیرگذار بوده است یا خیر، برای تمامی نمونه‌ها در حالت اشباع، میزان حداکثر اضافه فشار آب

- [7] Katsanos, E. I., Thöns, S., & Georgakis, C. T. (2016). Wind turbines and seismic hazard: a state-of-the-art review. *Wind Energy*, 19(11), 2113-2133.
- [8] DNV, Design of Offshore Wind Turbine Structures, DNV-OS-J101, Det Norske Veritas (DNV), Oslo, 2014.
- [9] IEC, Wind turbines-Part 3, Design Requirements for Offshore Wind Turbines, IEC 614000-3, International Electrotechnical Commission (IEC), 1211, Geneva, 2009, 20 Switzerland.
- [10] Zuo H, Bi K, Hao H. Using multiple tuned mass dampers to control offshore wind turbine vibrations under multiple hazards. *Eng Struct* 2017;141:303-15.
- [11] Hacifendioğlu K. Stochastic seismic response analysis of offshore wind turbine including fluid-structure-soil interaction. *Struct Des Tall Spec Build* 2012;21:867-78.
- [12] Li C, Hao H, Li H, Bi K. Theoretical modeling and numerical simulation of seismic motions at seafloor. *Soil Dyn Earthq Eng* 2015;77:220-5.
- [13] Mo, R., Kang, H., Li, M., & Zhao, X. (2017). Seismic fragility analysis of monopile offshore wind turbines under different operational conditions. *Energies*, 10(7), 1037.
- [14] Wang, X., Zeng, X., Yang, X., & Li, J. (2018). Feasibility study of offshore wind turbines with hybrid monopile foundation based on centrifuge modeling. *Applied energy*, 209, 127-139.
- [15] Austin, S., & Jerath, S. (2017). Effect of soil-foundation-structure interaction on the seismic response of wind turbines. *Ain Shams Engineering Journal*, 8(3), 323-331.
- [16] Zhao, X., & Maisser, P. (2006). Seismic response analysis of wind turbine towers including soil-structure interaction. *Proceedings of the Institution of Mechanical Engineers, Part K: Journal of Multi-body Dynamics*, 220(1), 53-61.
- [17] Sapountzakis, E. J., Dikaros, I. C., Kampitsis, A. E., & Koroneou, A. D. (2015). Nonlinear response of wind turbines under wind and seismic excitations with soil-structure interaction. *Journal of Computational and Nonlinear Dynamics*, 10(4), 041007.
- [18] Wang, X., Zeng, X., Yang, X., & Li, J. (2019). Seismic response of offshore wind turbine with hybrid monopile foundation based on centrifuge modelling. *Applied energy*, 235, 1335-1350.
- [19] Yu, H., Zeng, X., Li, B., & Lian, J. (2015). Centrifuge modeling of offshore wind foundations under earthquake loading. *Soil Dynamics and Earthquake Engineering*, 77, 402-415.
- [20] Anastopoulos, I., & Theofilou, M. (2016). Hybrid foundation for offshore wind turbines: Environmental and seismic loading. *Soil dynamics and earthquake engineering*, 80, 192-209.
- [21] Kim, D. H., Lee, S. G., & Lee, I. K. (2014). Seismic fragility analysis of 5 MW offshore wind turbine. *Renewable energy*, 65, 250-256.
- [22] Zheng, X. Y., Li, H., Rong, W., & Li, W. (2015). Joint earthquake and wave action on the monopile wind turbine foundation: An experimental study. *Marine Structures*, 44, 125-141.

ماندگار در حالت اشباع با افزایش شتاب تحریک و کاهش

فرکانس تحریک افزایش می‌یابد، ولی این موارد تاثیر قابل توجهی بر جایه‌جایی ماندگار در حالت خشک ندارد.

۳- با افزایش فرکانس تحریک، اختلاف بین عملکرد لرزه‌ای توربین در حالت خشک و اشباع کاهش یافته به طوری‌که در فرکانس‌های تحریک زیاد، شرایط خشک و اشباع خاک تاثیر قابل توجهی بر عملکرد لرزه‌ای توربین بادی ندارد.

۴- از جمله عوامل تاثیر گذار بر رفتار لرزه‌ای توربین ممکن است بر مونوپایل می‌توان به پدیده تشديد اشاره کرد. در صورتی که فرکانس بار اعمالی به نمونه با فرکانس طبیعی روسازه در حالت ممکن است بر مونوپایل برابر باشد، پدیده تشديد رخ داده و حالت بحرانی رفتار لرزه‌ای روسازه رخ می‌دهد. باید به این موضوع توجه شود که فرکانس طبیعی روسازه به شرایط خاک وابسته است و در حالت خشک و اشباع متفاوت است.

۵- به طور کلی می‌توان نتیجه گرفت که رفتار لرزه‌ای توربین بادی ممکن است بر مونوپایل در حالت اشباع بحرانی‌تر از حالت خشک بوده و همچنین وقوع پدیده تشديد بحرانی‌ترین حالت را در شرایط لرزه‌ای ایجاد می‌کند.

## ۵- مراجع

- [1] Abdel-Rahman, K., & Achmus, M. (2005, October). Finite element modelling of horizontally loaded monopile foundations for offshore wind energy converters in Germany. In *Proceedings of the international symposium on frontiers in offshore geotechnics*. Taylor and Francis, Perth (pp. 391-396).
- [2] Yan, Y., Yang, Y., Bashir, M., Li, C., & Wang, J. (2022). Dynamic analysis of 10 MW offshore wind turbines with different support structures subjected to earthquake loadings. *Renewable Energy*, 193, 758-777.
- [3] Natarajan, K., & Madabhushi, G. S. (2022). Seismic response of an offshore wind turbine jacket structure with pile foundations. *Soil Dynamics and Earthquake Engineering*, 162, 107427.
- [4] Li, X., Zeng, X., Yu, X., & Wang, X. (2021). Seismic response of a novel hybrid foundation for offshore wind turbine by geotechnical centrifuge modeling. *Renewable Energy*, 172, 1404-1416.
- [5] Kallehave, D., Byrne, B. W., LeBlanc Thilsted, C., & Mikkelsen, K. K. (2015). Optimization of monopiles for offshore wind turbines. *Philosophical Transactions of the Royal Society A: Mathematical, Physical and Engineering Sciences*, 373(2035), 20140100.
- [6] Ramirez, L., Fraile, D., & Brindley, G. (2020). Offshore wind in Europe: Key trends and statistics 2019.

- [31] Memary, F., "Centrifuge modeling of monopile under lateral loading in calcareous sand", M.Sc. Thesis, University of Tehran. (1398/2019). (In Persian).
- [32] Malakshah, R. R., "Centrifuge modeling of monopile under lateral loading in calcareous sand", PhD. Thesis, University of Tehran. (1401/2023). (In Persian).
- [33]. Park JJ. Estimation of the Ground Acceleration Amplification of Soil-Pile System in Weathered Soil. Seoul: Yonsei University; 2022. [Ph. D dissertation]
- [34]. Kim, H., Kim, D., Lee, Y., & Kim, H. (2020). Effect of soil box boundary conditions on dynamic behavior of model soil in 1 g shaking table test. *Applied Sciences*, 10(13), 4642.
- [35]. Iai, S., Tobita, T., & Nakahara, T. (2005). Generalised scaling relations for dynamic centrifuge tests. *Geotechnique*, 55(5), 355-362.
- [36]. Negro, V., López-Gutiérrez, J. S., Esteban, M. D., Alberdi, P., Imaz, M., & Serraclará, J. M. (2017). Monopiles in offshore wind: Preliminary estimate of main dimensions. *Ocean Engineering*, 133, 253-261.
- [37] Yang, E. K., Choi, J. I., Kwon, S. Y., & Kim, M. M. (2011). Development of dynamic py backbone curves for a single pile in dense sand by 1g shaking table tests. *KSCE Journal of Civil Engineering*, 15, 813-821.
- [38] Lim, H., & Jeong, S. (2018). Simplified py curves under dynamic loading in dry sand. *Soil Dynamics and Earthquake Engineering*, 113, 101-111.
- [23] Asareh, M. A., Schonberg, W., & Volz, J. (2016). Effects of seismic and aerodynamic load interaction on structural dynamic response of multi-megawatt utility scale horizontal axis wind turbines. *Renewable energy*, 86, 49-58.
- [24] Witcher, D. (2005). Seismic analysis of wind turbines in the time domain. *Wind Energy: An International Journal for Progress and Applications in Wind Power Conversion Technology*, 8(1), 81-91.
- [25] Shirzadeh, N., "Physical modeling of monopile under lateral load in geotechnical centrifuge", M.Sc. Thesis, University of Tehran. (1393/2014). (In Persian).
- [26] Khodaei, H., "Physical modeling of pile under lateral load in geotechnical centrifuge", M.Sc. Thesis, University of Tehran. (1393/2014). (In Persian).
- [27] Jomehri, F., "Centrifuge modeling of monopile under lateral cyclic load in sand", M.Sc. Thesis, University of Tehran. (1395/2016). (In Persian).
- [28] Shahidikhah, M., "Centrifuge modeling of monopile under cyclic lateral loads", M.Sc. Thesis, University of Tehran. (1396/2017). (In Persian).
- [29] Alamouti, S. D., "analysis and evaluation of dynamic characteristics of offshore monopile supported wind turbines considering experimental pile load tests in sand", PhD. Thesis, University of Tehran. (1397/2018). (In Persian).
- [30] Khamse, A., "Centrifuge modeling of monopile under cyclic lateral loads using load control system", M.Sc. Thesis, University of Tehran. (1397/2018). (In Persian).

## Effects of acceleration and frequency of input motion on the seismic behavior of offshore wind turbine supported by monopile

A.Bateni<sup>1</sup>, M.Moradi<sup>2\*</sup>

1- M.Sc., Geotechnical Eng., Faculty of Civil Eng., University of Tehran

2- Associate Prof., Faculty of Civil Eng., University of Tehran

\*mmoradi@ut.ac.ir

### **Abstract:**

In recent years, the surge in pollutants from fossil fuels has prompted a heightened emphasis on transitioning to clean and renewable energies, with a particular focus on wind power. The deployment of offshore wind turbines stands out as a prominent approach to harnessing wind energy. However, these turbines consistently endure cyclic loading induced by wind, waves, and ocean currents, necessitating foundations that exhibit robust resistance to such repeated stress. Offshore wind turbines are commonly mounted on monopiles, singular tubular structures with diameters ranging from 2 to 8 meters. While these turbines were initially deployed in Europe, their utilization has expanded to seismically active regions such as USA, China and Japan in recent years, owing to their numerous advantages. As a result, their seismic behavior has become a subject of interest. The seismic design of these turbines, similar to other structures, should be based on past earthquakes in the region and adapted to saturated conditions. Until now, a multitude of studies has delved into these turbines, predominantly through numerical research. However, the scarcity of experimental investigations into their seismic behavior has left the impacts of acceleration and frequency of input motion on their design not thoroughly explored. Furthermore, in certain instances, the design of these turbines makes reference to regulations designed for dry conditions. This research investigates the impact of acceleration and frequency of input motion on the seismic response of offshore wind turbines through 9 experiments conducted on samples using a 1g shaking table. Various input motion with different acceleration and frequencies were applied under both dry and saturated conditions, allowing for a comprehensive comparison of turbine behavior. The modeling process included creating a soil environment with specific dimensions through dry deposition and compaction, followed by the embedding of sensors for measuring acceleration and pore water pressure. After these initial steps, the monopile was vertically drove into the soil, and the superstructure was assembled. Displacement sensors were installed to capture the superstructure's displacement at different heights and to measure the settlement of the soil surface on the samples. Then the sample started to be saturated from the bottom of the box and water was placed on the soil surface up to 10 cm to model sea water. Subsequently, harmonic sinusoidal loading was applied, with 9 loadings featuring frequencies of 10 Hz, 5 Hz, and 3 Hz, along with maximum accelerations of 0.2 g, 0.3 g, and 0.4 g, respectively. As indicated by the findings of this research, turbine seismic behavior becomes significantly more critical during resonance phenomena in the most critical state, with the impact of other factors on seismic performance proving negligible in such instances. Moreover, the seismic behavior of these turbines consistently exhibits more critical behavior in saturated conditions compared to dry conditions. In saturated conditions, acceleration amplification in surface soil layers is up to 5 times, profoundly influencing seismic performance, whereas in dry conditions, amplification is limited to 1.2 times. Additionally, as excitation acceleration rises and excitation frequency decreases, the superstructure's maximum acceleration and the turbine's maximum and permanent displacement all increase, signifying a more critical behavior of this structure.

**Keywords:** Offshore wind turbine, Seismic behavior, Shaking table, Input motion, Saturated and dry condition.